T2R2 東京科学大学 リサーチリポジトリ Science Tokyo Research Repository

論文 / 著書情報 Article / Book Information

論題(和文)	エネルギーの釣合に基づく主架構の塑性化の程度を考慮した履歴ダン パーを有する制振構造の応答予測 その1 第1層の応答予測と時刻歴応答 解析結果の比較
Title(English)	Evaluation Method of Response Prediction Accuracy for Passive Controlled Building with Hysteretic Dampers Part 1: Analysis of Influence due to Fluctuation of Degree of Freedom and Number of Equivalent Repetition
著者(和文)	岩森貴寿, 佐藤大樹, 北村春幸, 山口路夫, 脇田直弥
Authors(English)	Takatoshi Iwamori, Daiki Sato, Haruyuki Kitamura, Michio Yamaguchi, Naoya Wakita
出典(和文)	日本建築学会大会学術講演梗概集,,, pp. 355-356
Citation(English)	Summaries of technical papers of annual meeting, , , pp. 355-356
発行日 / Pub. date	2018, 9
権利情報	一般社団法人 日本建築学会

山口路夫*4

エネルギーの釣合に基づく主架構の塑性化の程度を考慮した履歴ダンパーを有する制振構造の応答予測 その1 第1層の応答予測と時刻歴応答解析結果の比較

> 正会員 〇岩森貴寿*1 佐藤大樹*2

> > 同

制振構造 履歴ダンパー 応答予測式 エネルギー法 鋼構造建物 主架構の塑性化

北村春幸*3 同 脇田直弥*4

同

1. はじめに

制振構造建物の設計手法の1つに、エネルギーの釣合に基 づく耐震設計法(以降, エネルギー法と呼ぶ)がある。

主架構が弾性に留まることを想定した制振構造のエネルギ 一法は秋山 いにより提案され、北村ら いによって主架構が大き く塑性化する場合を考慮したエネルギー法に拡張された。そ こでは、主架構が大きく塑性化した場合と考えているため、 エネルギー配分を決定する重要な指標となる主架構と, 主架 構塑性化時における制振部材の等価繰返し数を耐震部材の等 価繰返し数と同じ値とするとしている。 そうすることで、主 架構が大きく塑性化した制振構造は耐震構造と同様に評価し ている。しかし、制振部材のエネルギー吸収効率は主架構の 塑性化の程度に応じて徐々に低下することが考えられるため 3), 主架構の塑性化の小さい範囲では、制振部材の等価繰返し 数は耐震構造の等価繰返し数より大きくなることが考えられ

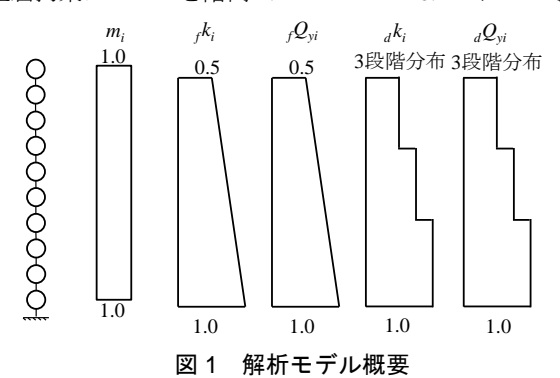
本報その1では、エネルギー法による主架構の塑性化の程 度を考慮した第1層の最大応答値の応答予測式を示し、時刻 歴応答解析の結果と比較し, 応答予測式の妥当性について検 討を行う。

2. 解析モデルおよび入力地震動の概要

文献 2), 4)を参考に本報その1では,主架構の弾性1次固有周 期 f_1T を f_1T = 1.0 s, 質点数 N は 10 と設定し, 10 層の鋼構造建物 の剛性・耐力分布を単純化した多質点系等価せん断型モデル (以降, せん断モデルと呼ぶ)を用いる。

2.1 主架構と履歴ダンパーの諸元

図1に本報における解析モデルの概要を示す。質量分布は等分 布 $(m_i = 9.8 \text{ kN} \cdot \text{s}^2/\text{cm})$, 主架構の剛性分布 k_i と主架構の降伏せん 断力分布 fQ_{vi} は台形分布 (最上層が最下層の 1/2) とする。履歴ダ ンパー(以降,ダンパーと呼ぶ)は,LY225級の低降伏点鋼製 の座屈拘束ブレースを階高 4.2 m のスパン 6.4 m にハの字 (角



Evaluation Method of Response Prediction Accuracy for Passive Controlled Building with Hysteretic Dampers

Part 1: Analysis of Influence due to Fluctuation of Degree of Freedom and Number of Equivalent Repetition

度 54°)で取り付けることを想定する。降伏層せん断力 aQ_{vi} は第1層のダンパーの降伏層せん断力 dQ_{y1} を基準とし、秋山 が提案する $\overline{\alpha}_i$ 分布¹⁾に基づく最適分布を3つのグループに分 割した段階分布とする。ダンパーの初期剛性 aki は aOviから ダンパーの降伏層間変形 $d\delta_{vi}$ で除して算出される。 $d\delta_{vi}$ は全 層で一定値とし, $d \delta_{yi} = 0.64$ cm とする 4)。なお、ダンパーへ の変形伝達の障害となる取り付け部材や建物全体の曲げ変形 の影響はないものと仮定し、各層の層間変形は全てダンパー の変形に寄与するものとする5。構造減衰は主架構の弾性1次 固有周期 f_1T に対して $f_1h = 0.02$ となる剛性比例型とする。

主架構を1質点系に置換した場合の等価剛性 kea を, 各層の 質量 mi の総和である総質量 M と多質点系モデルの主架構弾 性1次固有周期 flT を用いて,次式のように設定する。

$$k_{eq} = \frac{4\pi^2 M}{f_1 T^2} \tag{1}$$

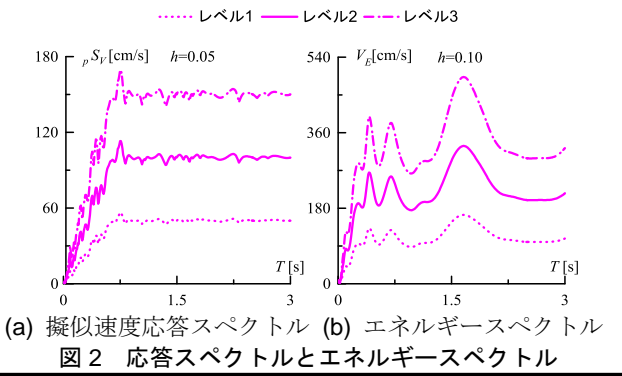
 fk_i は、 k_{eq} を用いて次式で表される。

$$\kappa_i = \frac{f \, k_i}{k_{eq}} \tag{2}$$

本報では、主架構が弾性である場合と塑性化する場合の復 元力特性について考える。塑性化を考慮した主架構とダンパ 一の復元力特性は完全弾塑性型とする。本報では, 主架構と ダンパーを合わせたものを全体架構と呼ぶ。

2.2 入力地震動概要

検討用地震動は、コーナー周期 $T_c = 0.64$ s 以降の領域で、 擬似速度応答スペクトル $_pS_V$ が一定となる模擬地震動波形 ART HACHI (位相特性: HACHINOHE 1968 EW) を用いる。 本報その 1 では入力レベルを自由に変動させ、pSv = 50, 100, 150 cm/s の地震動をレベル 1, レベル 2, レベル 3 と位置付け る。全地震動ともに解析時間刻みAt=0.01sとする。図2に擬 似速度応答スペクトル $_pS_V$ とエネルギースペクトル V_E (固有 周期 T=0~3 s)を示す。図 2 より、固有周期 T=2.0 s 程度で エネルギースペクトルが最大となることが確認できる。



IWAMORI Takatoshi, SATO Daiki, KITAMURA Haruyuki, YAMAGUCHI Michio, WAKITA Naoya

3. 主架構の塑性化の程度を考慮した第1層の応答評価式

文献 2)より、主架構が弾性である場合の非制振構造モデルの最大値と本報で用いる制振構造モデルの比で表されるダンパーのせん断力係数比 $_d\alpha_{y1}/_f\alpha_0$ と最大層間変形比 $\kappa_1\cdot\delta_{\max,1}/_f\delta_0$ の関係は式(3)で表される。

$$\left(\kappa_{1} \frac{\delta_{\text{max,l}}}{{}_{f} \delta_{0}}\right) = -\frac{4_{d} n_{e1} \cdot {}_{d} \gamma_{1}}{\kappa_{1}} \left(\frac{{}_{d} \alpha_{y1}}{{}_{f} \alpha_{0}}\right) \pm \sqrt{\left(\frac{4_{d} n_{e1} \cdot {}_{d} \gamma_{1}}{\kappa_{1}}\right)^{2} \left(\frac{{}_{d} \alpha_{y1}}{{}_{f} \alpha_{0}}\right)^{2} + 1} \tag{3}$$

ここで、非制振弾性モデルの最大せん断力係数 $f\alpha_0$ と最大変形 $f\delta_0$ は構造体の損傷に寄与するエネルギーの速度換算値 V_D と主架構弾性 1 次固有周期 f(T) を用いて次式で表される 20 。

$$_f\alpha_0 = \frac{2\pi \cdot V_D}{f_1T \cdot g}$$
, $_f\delta_0 = \frac{f_1T \cdot V_D}{2\pi}$ (4, 5)

主架構の塑性化の程度を考慮した第 1 層の応答評価式を算出するには、主架構の塑性化に伴うダンパーの等価繰返し数の低下率 β_{ni} 3)を用いる(式(6))。

$$\beta_{ni} = -0.2 \cdot_f \mu_i' + 1 \qquad f \mu_i' < 3 \qquad (6a)$$

$$\beta_{ni} = 0.4 \qquad \qquad {}_{f} \mu_i' \ge 3 \qquad \qquad (6b)$$

ここで, 主架構の塑性変形倍率 f μ'i は次式で表される。

$$_{f}\mu_{i}^{\prime} = \frac{\delta_{\max,i}}{_{f}\delta_{\gamma i}} - 1 \tag{7}$$

主架構の塑性化の程度を考慮した非制振弾性モデルの変形に対する第 1 層の最大層間変形の割合 κ_1 ・ $\delta_{\max 1}/f\delta_0$ の関係は次式で表すことができる δ_0 。

$$\left(\kappa_{1} \frac{\delta_{\text{max,l}}}{f \delta_{0}}\right)^{(j+1)} = \frac{\kappa_{1} \left(\frac{f \alpha_{0}}{f \alpha_{y1}}\right) - \kappa_{1} \left(\frac{f \alpha_{y1}}{f \alpha_{0}}\right) + 8_{f} n_{1} \cdot_{f} \gamma_{1} \left(\frac{f \alpha_{y1}}{f \alpha_{0}}\right)}{8 \cdot_{d} n_{e1} \cdot \beta_{n1}^{(j)} \cdot_{d} \gamma_{1} \left(\frac{d \alpha_{y1}}{f \alpha_{0}}\right) \left(\frac{f \alpha_{0}}{f \alpha_{y1}}\right) + 8_{f} n_{1} \cdot_{f} \gamma_{1}} \tag{8}$$

ここで、括弧書きの添え字は反復操作回数である。右辺の β_{n1} のは $\delta_{\max,1}$ のを含む項であるため、左辺の $\delta_{\max,1}$ (j+1)と値を一致 させる必要がある。そこで、はじめは β_{n1} (1)=1と仮定し $\delta_{\max,1}$ (2)を求め、 $\delta_{\max,1}$ (j+1)が概ね一定値となるまで式(8)に代入する。筆者らはこの収斂計算を5回程度行うことで $\delta_{\max,1}$ (j-1)が0.1以下なることを確認している。

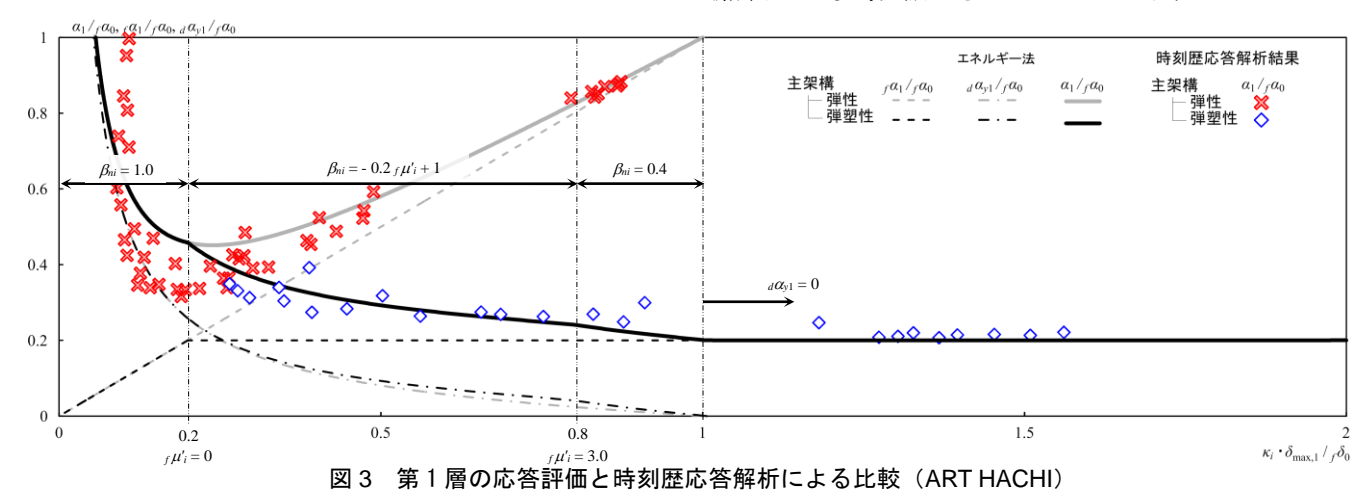
4. 主架構の塑性化の程度を考慮した応答評価と解析結果

図3に全体架構のせん断力係数比 a1/fa0と最大層間変形比 $\kappa_1 \cdot \delta_{\max,1}/f\delta_0$ の関係を示す。ここで、エネルギー法の応答評 価曲線を描く際に用いる主架構の損傷分散係数 fn と等価繰 返し数 $_f n_1$ は $\kappa_1 \cdot \delta_{\max,1}/_f \delta_0 = 1.0$ のときに $_d \alpha_{y1}/_f \alpha_0 = 0$ とな るように $f\gamma_1=4.0$, $fn_1=1.0$ に設定する。ダンパーの損傷分散 係数 $_{d}$ n と主架構弾性時のダンパー等価繰返し数 $_{d}$ n_{e1} は $_{d}$ γ_{1} = 5.0, dne1=2.5 に設定する。解析結果は2章で前述した,10質 点系等価せん断型モデルを採用し、ダンパー量 dαyl および入 カレベルを自由に変動させ、解析結果が 1.0 < d nel < 7.5, 4.0 <μ < 8.0 となる場合の結果を示している。また、主架構が塑 性化する場合には $0.19 < f \alpha_{v1} / f \alpha_{0} < 0.21$ となる解析結果を示 す。dne1, $d\eta$ および $f\alpha_{V1}/f\alpha_{0}$ の値による影響については次章 にて後述する。図3より、主架構弾性時と主架構弾塑性時の 応答曲線は主架構が塑性化する範囲となる κ_1 ・ $\delta_{\max,1}/f\delta_0$ が 0.2 以降で異なることがわかる。また、 $\kappa_1 \cdot \delta_{\text{max},1}/f \delta_0 = 0.8$ で応答 曲線に折れ点が確認できる。これは、 $f\mu'_{i}=3$ にあたり式(8)の β_{ni} が式(6a)から式(6b)になるためである。主架構が弾性, 塑性 化にかかわらず解析結果より得られる $\alpha_1/f\alpha_0$ (\times , \diamondsuit) は応 答曲線と良い対応を示すことがわかる。解析結果のバラつき は応答曲線が anel, an などのパラメータに一定値を用いてい るのに対して,解析結果は上述した範囲でのバラつきを有す るためである。主架構が塑性化する場合では層間変形比κι・ $\delta_{\max,1}/f\delta_0$ が大きくなり、 $\kappa_1 \cdot \delta_{\max,1}/f\delta_0 > 1.0$ となるケースが 確認できる。これは $d\alpha_{N1}$ が非常に小さく、主架構が負担する せん断力に対してダンパーが負担するせん断力が非常に小さ いため,変形が大きくなったと考えられる。

5. まとめ

本報その1では、エネルギー法による第1層の応答評価と 時刻歴応答解析の結果を比較し、筆者らが提案する応答評価 式の妥当性について検討を行った。

謝辞および参考文献はその2にまとめて示す



- *'株式会社奥村組(元東京工業大学 大学院生)
- *2東京工業大学
- *3東京理科大学
- *4新日鉄住金エンジニアリング株式会社

- *1 Okumuragumi Co.
- *2 Tokyo Institute of Technology
- *3 Tokyo University of Science
- *4 Nippon Steel & Sumikin Engineering Co., Ltd

N = 10, $f_1T = 1.0$, $f_2\alpha_{11}/f_3\alpha_{12} = 0.2$, $f_3\alpha_{11} = 0.2$, $f_3\alpha_{12} = 0.2$, $f_3\alpha_{11} = 0.2$, $f_3\alpha_{12} = 0.2$, $f_3\alpha_{13} = 0.2$